



IRANIAN SOCIETY of
CRYSTALLOGRAPHY
and MINERALOGY

Vol. 17, No. 3, Fall 1388/2009

IRANIAN JOURNAL of
CRYSTALLOGRAPHY
and MINERALOGY

Geochemistry and petrography of Meiduk copper deposit's host volcanic rocks - Kerman

F. Aliani^{1*}, A. Alirezaei¹, A. Moradian², Z. Abbasloo³

1- Department of Geology, Faculty of Sciences, Bu Ali Sina University of Hamadan

2- Department of Geology, Faculty of Sciences, Shahid Bahonar University of Kerman

3- Meiduk Mine, Kerman

(Received: 2/11/2008 , in revised form: 19/5/2009)

Abstract: The study area is located in Central Iranian volcano-plutonic copper belt (Dehaj-Sarduiyeh belt) about 42 Km northeast of Shahrbabak in Kerman Province. Based on petrographic studies, extrusive rocks have the composition from trachyandesite, andesite basaltic and andesite to dacite with Eocene age. Mineralogically, the rocks contain plagioclase, amphibole, biotite and quartz. Chlorite, calcite, epidote and sericite are secondary phases. The texture of these rocks is normal porphyritic. Geochemically, the rocks mostly belongs to the calc-alkaline series. The ratio of $Zr/Y > 3$ shows that these rocks are similar to active continental margin. Negative anomalies of Ti, Nb, P and positive anomalies Pb, K in spider diagrams are similar to subduction zone and crustal assimilation. These rocks shows enrichment from LILE and LREE elements and are relatively depleted from HFSE elements. These properties can be correlated with subduction volcanic arcs and active continental margins.

Keywords: Dehaj-Sarduiyeh belt, geochemistry, calc-alkaline magma, active continental margin.

* Corresponding author, Tel.: +98 (0811) 8234343, Fax: +98 (0811) 8253467, E-mail: ali.alirezaei.ir@gmail.com



ژئوشیمی و سنگ‌شناختی سنگ‌های آتشفسانی درونگیر کانسار مس میدوک-کرمان

فرهاد آلیانی^{۱*}، علی علیرضایی^۱، عباس مرادیان^۲، زهرا عباسلو^۳

۱- دانشگاه بولعی سینا همدان

۲- دانشگاه شهید باهنر کرمان

۳- مجتمع مس میدوک، کر

(دریافت مقاله: ۸۷/۸/۱۲ ، نسخه نهایی: ۸۸/۲/۳۰)

چکیده: منطقه مورد بررسی در زون ایران مرکزی، کمربند مس‌دار ارومیه-دختر (نوار دهچ-ساردوئیه) و در ۴۲ کیلومتری شمال شرق شهرستان شهربابک، در استان کرمان قرار دارد. بر اساس بررسی‌های سنگ‌شناختی، این سنگ‌های آتشفسانی از تراکی آندزیت، آندزیت‌بازالت، آندزیت تا داسیت تشکیل شده‌اند. از نظر کانی‌شناسی سنگ‌های یادشده شامل پلاژیوکلاز، آمفیبول، بیوتیت و کوارتزند و نیز کلریت، کلسیت، اپیدوت و سریسیت کانی‌های ثانویه را شامل می‌شوند. بافت عمدۀ در این سنگ‌ها پورفیری است. از دیدگاه ویژگی‌های ژئوشیمیابی، سنگ‌های منطقه جزء سری آهکی-قلیایی هستند. نسبت Zr/Y در این سنگ‌ها بیشتر از ۳ است که از این لحاظ با سنگ‌های آتشفسانی حواشی قاره‌ای فعال مشابه‌اند. بهنجاری منفی عناصر Ti و Nb و مثبت عناصر P و K در نمودارهای عنکبوتی نشان می‌دهد که سنگ‌های آتشفسانی منطقه با سنگ‌های آتشفسانی تشکیل شده در مناطق فروزانش و نیز تأثیر فرایند آلایش ماقمایی روی این سنگ‌ها همخوانی دارند. این سنگ‌ها از عناصر LILE و REE غنی شدگی و از عناصر HFSE تهی شدگی نشان می‌دهند، که این ویژگی‌ها شاخصه سنگ‌های تشکیل شده در کمان‌های آتشفسانی مناطق فروزانش و حواشی قاره‌ای فعال‌اند.

واژه‌های کلیدی: نوار دهچ-ساردوئیه، ژئوشیمی، ماقمایی آهکی-قلیایی، حواشی قاره‌ای فعال.

سنگ‌های آتشفسانی سنوزوئیک و پیروکلاست‌های وابسته به آن تشکیل شده است که به موازات زون دگرگون شده سنندج-سیرجان رخنمون‌های گستردۀ‌ای را تشکیل داده است. به درون این سنگ‌های آتشفسانی توده‌های نفوذی متعددی با سن و ترکیب متفاوت نیز نفوذ کرده است.

در مورد گرایش ژئوشیمیابی سنگ‌های آتشفسانی کمربند ارومیه-دختر، نظرهای متفاوتی وجود دارند ولی اغلب زمین

مقدمه

سنگ‌های آتشفسانی مورد بحث جزئی از یک واحد تکتونوماگمایی مهم تحت عنوان مجموعه ماقمایی ارومیه-دختر است. کمربند یادشده در استان کرمان تحت عنوان نوار دهچ-ساردوئیه خوانده شده است [۱]. این نوار در حقیقت ادامۀ کمربند ولکانو-تکتونیک ترشیری ایران مرکزی به نام کمربند ارومیه-دختر است [۱۲]. کمربند ماقمایی ارومیه-دختر از

* نویسنده مسئول، تلفن: ۰۸۱۱ (۸۲۵۳۴۶۷)، نمبر: ۰۸۱۱ (۸۲۳۴۳۴۳)، پست الکترونیکی: ali.alirezaei.ir@gmail.com

زمین‌شناسی عمومی منطقه

مجموعه‌آتشفشنانی در برگیرنده کانسار مس میدوک (کمپلکس آتشفشنانی رازک) در عرض جغرافیایی شمالی^{۲۵'} ۳۰° و طول جغرافیایی شرقی^{۱۰'} ۵۵° در استان کرمان و در ۴۲ کیلومتری شمال شرق شهرستان شهربابک و در ۱۳۲ کیلومتری شمال‌غرب کانسار مس سرچشمه قرار دارد.

توده گرانیت‌وئیدی میدوک پورفیری با سن ۱۲/۵ سال (میوسن میانی) به درون این سنگ‌های آتشفشنانی که سن آن‌ها ائوسن بالایی است، تزریق و جایگزین شده است. کانسار مس میدوک مهم‌ترین کانسار مس پورفیری پس از کانسار مس سرچشمه در استان کرمان است. این کانسار ذخیره‌ای در حدود ۱۳۰ میلیون تن با عیار مس ۸۲٪ دارد.

همچنین منطقه مورد بررسی از نظر تقسیمات زمین‌شناسی ایران، در بخش شمال غربی نوار دهچ-ساردوئیه قرار گرفته است (شکل ۱). نوار دهچ-ساردوئیه به عنوان بخش جنوب-شرقی کمربند ارومیه-دختر، با طول ۴۵۰ کیلومتر و عرض حدود ۹۰ کیلومتر از گوشه شمال‌غرب و غرب استان کرمان در مناطق انار و دهچ تا گوشه جنوب شرق یعنی کوههای بارز جیرفت با روند عمومی شمال‌غرب-جنوب شرق گسترش دارد. فعالیت این نوار، به صورت آتشفشنانی-رسوبی و آتشفشنانی-پلوتونیکی شدید از ائوسن شروع شده و تا کواترنری ادامه داشته است. تشکیلات ائوسن مهم‌ترین و گسترده‌ترین واحدهای زمین‌شناسی این کمربند را بخود اختصاص داده است و شامل سنگ‌های ته نشستی ائوسن با رخساره فلیشی، تشکیلات آتشفشنانی-ته نشستی ائوسن زیرین-میانی کمپلکس بحر آسمان، سنگ‌های ته نشستی با رخساره فلیشی ائوسن میانی، کمپلکس آتشفشنانی ائوسن میانی-فوکانی رازک (سنگ‌های آتشفشنانی مورد بحث) و سنگ‌های آتشفشنانی ائوسن فوکانی کمپلکس هزار است [۶].

تشکیلات رسوبی- ته نشستی الیگوسن سرخ زیرین و قم، نفوذ توده‌های آذرین گرانودیوریتی، گرانیتی، کوارتزدیوریتی و تونالیتی و ... در اواسط الیگوسن و میوسن، تشکیلات ته نشستی- تخریبی سرخ فوکانی با سن میوسن، فوران‌های داسیتی و آندزیتی آتشفشنان مزاحم [۱] گدازه‌های پتاسیک و التراپاتاسیک راین (لامپروئیت‌ها) به سن پلیوسن-پلیستوسن

شناسان آنها را جزء سری آهکی-قلیایی دانسته‌اند [۱۲]. شهاب‌پور [۲۵] با بررسی سنگ‌های آتشفشنانی منطقه شهربابک و سرچشممه به قرارگیری این سنگ‌ها در سری آهکی-قلیایی اشاره کرده است. به عقیده حسن‌زاده [۱۰] مجموعه سنگ‌های آذرین یادشده به ماغماتیسم جزاير قوسی وابسته‌اند. امامی [۲] دلیل فعالیت‌های آتشفشنانی ائوسن در بخش‌های مختلف ایران را به فاز کششی سراسری مهمی نسبت داده است که به دنبال فاز فشارشی کرتاسه پایانی روی داده است. معین وزیری [۳] نحوه تشکیل این کمربند ماغماتی را با فرورانش پوسته اقیانوسی گستره نئوتیس به زیر ایران مرکزی در زمان مژوزوئیک وابسته می‌داند. به اعتقاد وی شکسته شدن پوسته اقیانوسی در حال فرورانش در کرتاسه بالایی و توقف لیتوسفر اقیانوسی شکسته شده در درون گوشه موجب برقراری تعادل دمایی بین گوشه و لیتوسفر اقیانوسی شده و در پی آزادسازی آب از سطح لیتوسفر اقیانوسی، گوه گوشه‌ای میزبان آن دستخوش ذوب بخشی شد که ماغماتیسم شدید دوره‌های پس از ائوسن را رقم زده است.

در این مقاله حاضر سعی شد تا با استفاده از نتایج آنالیزهای شیمیایی سنگ‌های آتشفشنانی درونگیر کانسار مس میدوک و تلفیق این داده‌ها با بررسی‌های سنگ‌شناختی، به ماهیت ژئوشیمیایی و پتروزنر سنگ‌های آتشفشنانی منطقه پی برده شود.

روش مطالعه

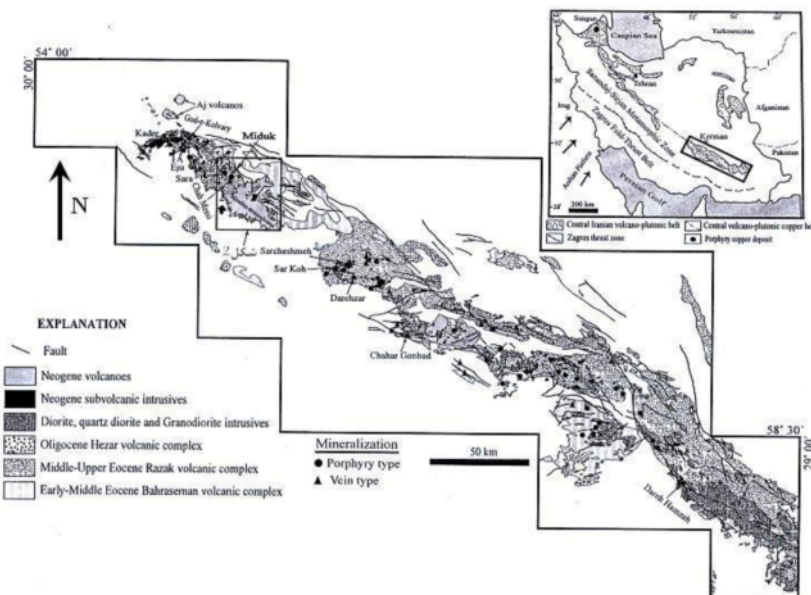
نخست سنگ‌های آتشفشنانی منطقه مورد نظر از نظر صحرایی و آزمایشگاهی مورد بررسی قرار گرفتند. در بخش صحرایی از گستره مورد نظر با توجه به تغییرات سنگ‌شناختی و ویژگی‌های فیزیکی نظیر رنگ و اندازه ذرات، تعداد ۱۰۰ نمونه برداشت شدند. سپس تعداد ۷۰ مقطع نازک از نمونه‌های برداشت شده، برای بررسی‌های سنگ‌شناختی انتخاب شدند. پس از بررسی سنگ‌شناختی از نمونه‌های سالم و کمتر دگرسان شده برای تجزیه شیمیایی عناصر اصلی با دستگاه XRF و نیز اندازه‌گیری مقادیر عناصر نادر خاکی به روش ICP انتخاب و به آزمایشگاه ALS Chemex کانادا ارسال شدند که نتایج در جدول ۱ ارائه شده‌اند. علت بالا بودن LOI در بیشتر نمونه‌ها تأثیر عوامل دگرسان روی سنگ‌های آتشفشنانی منطقه است.

آتشفسانی رازک وابسته‌اند، مورد بررسی قرار گرفته‌اند. مجموعه آتشفسانی رازک واحدهای سنگی مختلفی را شامل می‌شود (شکل ۲).

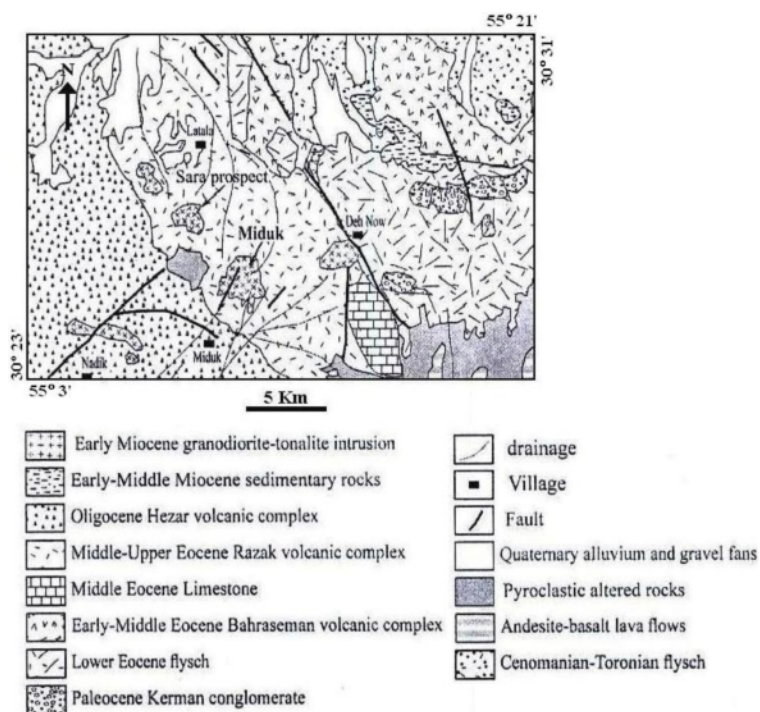
مراحل شکل‌گیری و تکامل این کمربند را شامل می‌شوند [۶]. در این پژوهش سنگ‌های آتشفسانی درونگیر شمال شرق کانسار مس میدوک واقع در روستای لاطلا که به مجموعه

جدول ۱ نتایج تجزیه شیمیایی سنگ‌های آتشفسانی درونگیر کانسار مس میدوک.

Row name	LT3	LT7	LT13	LT18	LP4	LR14	LR18	LR26
SiO ₂ (Wt%)	۶۳	۶۲,۱	۶۳,۲	۶۱,۴	۶۲,۱	۵۹,۳	۵۹,۱	۵۹,۸
Al ₂ O ₃	۱۵,۳	۱۶,۷۵	۱۶,۲	۱۵,۸۵	۱۶,۶۵	۱۶,۳	۱۵,۷	۱۶,۱
Fe ₂ O ₃	۳,۶۶	۵,۱۲	۴,۷۴	۴,۳	۳,۸	۵,۴	۴,۳۷	۴,۶۸
CaO	۴,۸۹	۴,۰۱	۲,۴۹	۴,۰۷	۳,۳۵	۴,۴۶	۵,۳۱	۴,۹۱
MgO	۱,۵۱	۱,۹۳	۱,۹	۱,۸۲	۰,۸۳	۲,۰۲	۱,۶۴	۱,۸۶
Na ₂ O	۳,۹۱	۴,۱۱	۳,۱۴	۲,۶۲	۳,۶	۴,۲۶	۴,۲۱	۳,۵۷
K ₂ O	۲,۱۴	۲,۵۴	۳,۶۸	۳	۵,۰۶	۲,۳۶	۲,۶۲	۲,۲۵
TiO ₂	۰,۴۳	۰,۵۸	۰,۵۴	۰,۵۲	۰,۴۹	۰,۷۲	۰,۶۱	۰,۶۱
MnO	۰,۱۴	۰,۲	۰,۲۷	۰,۱۸	۰,۲۸	۰,۱	۰,۰۸	۰,۱
P ₂ O ₅	۰,۲۱	۰,۳۳	۰,۲۵	۰,۲	۰,۱۷	۰,۴۲	۰,۲۷	۰,۳۳
LOI	۵,۳	۲,۰۵	۳,۷	۵,۹۶	۴,۰۶	۴,۲۷	۴,۸۱	۵,۷۱
Total	۱۰۰,۵	۹۹,۸	۱۰۰,۵	۱۰۰,۵	۱۰۰,۵	۹۹,۸	۹۸,۹	۱۰۰
Ba(ppm)	۵۲۹	۷۴۹	۱۰۳۵	۴۲۴	۸۹۴	۸۴۴	۸۳۰	۵۷۸
Cr	۲۰	۲۰	۳۰	۲۰	۱۰	۲۰	۳۰	۲۰
Eu	۰,۹۵	۱,۲۶	۱,۰۸	۰,۹۸	۱,۶۸	۱,۴۶	۱,۱۳	۱,۳
La	۲۶,۶	۳۳,۹	۳۲	۲۵,۲	۴۹,۷	۳۵,۶	۱۶۱,۵	۳۱,۲
Nb	۶,۲	۷,۶	۷,۴	۶,۱	۱۶,۳	۱۴,۳	۱۰,۴	۸,۵
Nd	۱۹,۱	۲۵,۷	۲۲,۲	۱۸,۹	۳۸,۷	۲۹,۴	۲۶,۷	۲۶,۱
Ni	۱۷	۲۴	۲۷	۲۳	۱۰	۲۰	۱۰	۲۴
Pb	۳۰	۲۶	۱۲۰	۲۱	۲۱	۱۴	۱۴	۴۰
Rb	۸۱	۶۵	۱۱۳,۵	۱۱۹,۵	۱۹۵,۵	۶۳	۵۲,۹	۸۱,۹
Sr	۵۶	۸۷۱	۵۴۶	۲۷۱	۲۶۷	۱۰۳۰	۶۷۶	۳۷۸
Ta	۰,۵	۰,۶	۰,۶	۰,۵	۱,۲	۱	۰,۸	۰,۷
Tb	۰,۳۶	۰,۴۹	۰,۴۵	۰,۳۹	۰,۹۷	۰,۵۷	۰,۴۴	۰,۴۹
Th	۱۰,۲۵	۱۰,۵	۱۱,۶۵	۱۰	۲۳	۸,۸۴	۸,۱۹	۶,۴۹
V	۸۹	۱۱۸	۱۱۲	۱۰,۹	۴۷	۱۱۸	۱۰,۱	۱۱۱
Y	۹,۲	۱۱,۹	۱۰,۹	۱۰,۵	۲۸,۵	۱۳,۴	۹,۷	۱۰,۷
Yb	۰,۸۵	۱,۰۳	۱,۰۱	۰,۹۷	۳,۲۴	۱,۲	۰,۹۳	۰,۹۳
Zr	۹۸	۱۴۳	۱۲۹	۱۱۰	۳۲۰	۱۴۹	۱۳۰	۱۵۳
Ba/La	۲۰,۳۶	۲۲,۰۹	۳۲,۳۴	۱۷,۲۲	۱۷,۹۸	۲۳,۷	۵,۱۳	۱۸,۵۲
La/Th	۲,۵۹	۳,۲۲	۲,۷۴	۲,۵۲	۲,۱۶	۴,۰۲	۱۹,۷	۴,۸
Zr/Y	۱۰,۶	۱۲,۰۱	۱۱,۷۳	۱۰,۴۷	۱۱,۲۲	۱۱,۱۱	۱۲,۴	۱۴,۲۹



شکل ۱ موقعیت کمربند دهچ- ساردوئیه روی زون ارومیه- دختر و تشکیلات مهم آن [۶].



شکل ۲ نقشه زمین‌شناسی منطقه مورد بررسی- اقتباس با تغییرات از [۲۴].

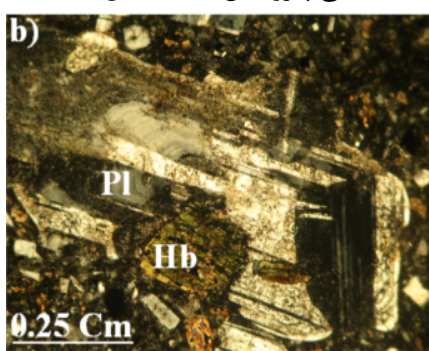
سن مجموعه‌های فوق ائوسن است و به عنوان سنگ درونگیر کانسار مس میدوک شناخته می‌شوند. استوک گراینیتوئیدی میدوک پورفیری که سن آن میوسن میانی است [۱۰] پس از جایگزینی در درون مجموعه‌های

روابط صحرایی و سنگ شناختی
سنگ‌های آتشفشاری در منطقه مورد بررسی از نوع تراکی آندزیت، آندزیت، آندزیت‌بازالت تا داسیت پورفیری هستند که

غیر تعادلی اند نیز در تعدادی از پلازیوکلازها مشاهده می‌شود (شکل ۳).

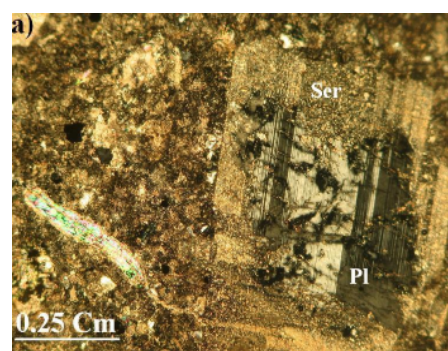
- **کوارتز:** این کانی در آندزیت‌ها کمتر از ۳ درصد حجمی کانی‌ها را تشکیل می‌دهد. حداقل اندازه آن‌ها در این سنگ‌ها ۰/۱-۰ میلی‌متر است. کانی‌های کوارتز بیشتر همان‌دازه و دارای خاموشی موجی هستند. این کانی در داسیت‌ها، حاشیه خلیجی را نشان می‌دهند (شکل ۴a). وجود کوارتز با حاشیه خلیجی را می‌توان به تغییر حالت اوتکتیک کوارتز-آلکالی فلدسپار با تغییر فشار، در طول بالا آمدن مانگما به سطح زمین وابسته دانست.

- **کانی‌های تیره:** این کانی‌ها حدود ۵-۲۲ درصد حجمی کانی‌ها را تشکیل می‌دهند. هورنبلندها در بیشتر نمونه‌ها حضور دارند. هورنبلندها در مقطع عرضی هم به صورت لوزی و هم نیمه شکل دار وجود دارند. بیشتر این کانی‌ها در حاشیه کدر شده‌اند، بگونه‌ای که پیرامون آن‌ها را اکسیدهای آهن فرا گرفته و در مرکز کلریت، اپیدوت و کوارتز تشکیل شده است (شکل ۴b). کانی‌های کلریت، کلسیت، اکسیدهای آهن و بیوتیت ثانویه از دگرسانی کانی‌های هورنبلند حاصل شده‌اند. کانی بیوتیت حدود ۱-۱۰ درصد حجمی بیشتر نمونه‌ها را تشکیل می‌دهد. این کانی به صورت شکل دار و نیمه شکل دار بوده و پدیده اتحلال و کدر شدن که علت آن کاهش فشار مانگما ضمن صعود است، در بیشتر آن‌ها دیده می‌شود. اندازه بلورهای بیوتیت حداقل ۱-۰/۲ میلی‌متر است. کانی‌های اپیدوت و کلریت از دگرسانی کانی‌های بیوتیت حاصل شده‌اند (شکل ۵). کانی‌های کدر نیز به عنوان کانی تیره حدود ۱-۵ درصد حجمی نمونه‌ها را تشکیل می‌دهند. این کانی به صورت بی‌شکل است. یکی دیگر از کانی‌های مشاهده شده در تعدادی از نمونه‌ها که حداقل ۲ درصد حجمی نمونه‌ها را تشکیل می‌دهد، کانی پیروکسن است (شکل ۶a).

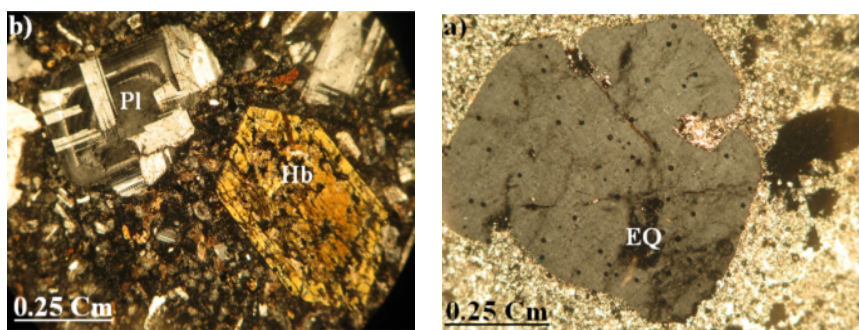


آتشفشنایی بالا دستخوش تبلور شده است و در نتیجه، پس از تبلور استوک، سنگ‌های پیرامون خود را دگرسان کرده است. مجموعه آتشفشنایی آندزیتی و داسیتی در صحراء به رنگ خاکستری مایل به سبز با بافت پورفیری تا ریز دانه مشخص می‌شود. این سنگ‌ها در تماس با توده گرانیت‌وئیدی به شدت دگرسان شده و به رنگ خاکستری پروپلیتیک قرار تغییر کرده‌اند. این مجموعه‌ها زیر فاز دگرسانی پروپلیتیک گرفته و کانی‌های آن بیشتر به کلریت و اپیدوت تبدیل شده‌اند. رنگ این سنگ‌ها در نمونه دستی بیشتر از خاکستری روشن تا خاکستری تیره و در مواردی خاکستری متمایل به سبز تغییر می‌کند. بافت بیشتر آنها پورفیریک است. کانی‌های تشکیل دهنده این سنگ‌ها عبارتند از:

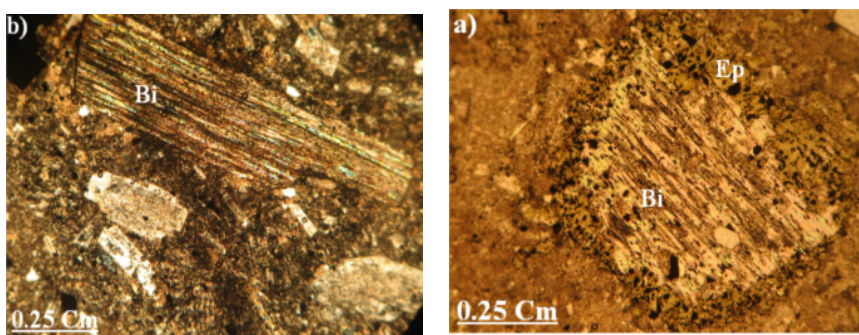
- **پلازیوکلاز:** در مقاطع میکروسکوپی فنوکریستهای پلازیوکلاز به عنوان فراوان ترین کانی موجود در این سنگ‌ها هستند. اندازه فنوکریستهای پلازیوکلازها ۰/۵-۲ میلی‌متر در یک زمینه ریز دانه است که معمولاً به صورت توده‌ای با بافت های ریز دانه و پورفیری مشخص هستند. انواع پورفیری آندزیت‌ها دارای بیش از ۶۰ درصد حجمی پلازیوکلاز هستند. بلورهای پلازیوکلاز عموماً نیمه شکل دار و تخته‌ای شکل‌اند. انواع ماکلهای تکراری، کارلسپاد و منطقه‌بندی نوسانی در آن‌ها دیده می‌شود. با توجه به ماکل تکراری و منطقه‌بندی در پلازیوکلازها و زاویه خاموشی ۲۸-۳۶ درجه، ترکیب آن‌ها بیشتر آندزین-لابرادوریت پیشنهاد می‌شود. وجود منطقه‌بندی در پلازیوکلازها، کاهش فوگاسیته اکسیژن را نشان می‌دهد که به دلیل وجود هورنبلند و بیوتیت در نمونه‌هاست. کلسیت، کلریت، سریسیت و کوارتز ثانویه از دگرسانی پلازیوکلازها حاصل شده‌اند و در سطح تعدادی از آن‌ها اکسیدهای آهن مشاهده می‌شود. اتحلال و خوردگی شدید که بیانگر بافت‌های



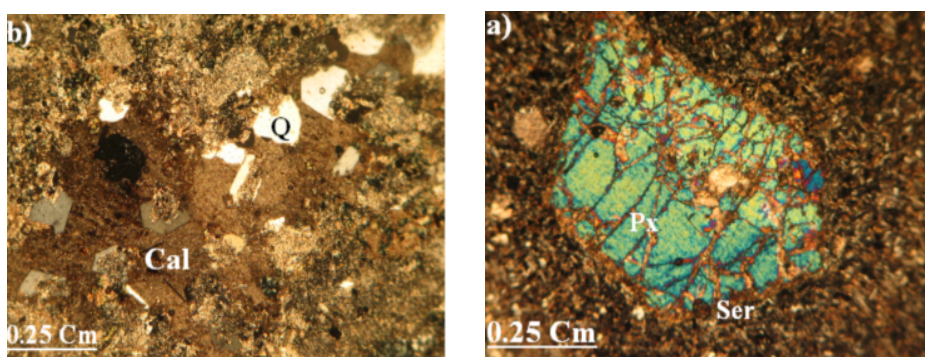
شکل ۳ تصاویر میکروسکوپی از سنگ‌های آتشفشنایی منطقه. a) پلازیوکلاز(Pl) در حال سریسیتی شدن، b) منطقه‌بندی نوسانی در پلازیوکلاز (Hb) همراهی با هورنبلند.



شکل ۴ (a) فنوکریست کوارتز با حاشیه خلیجی (EQ) در یک زمینه ریز دانه در سنگ‌های داسیتی، (b) فنوکریست‌های پلازیوکلاز (Pl) و هورنبلند (Hb) در یک زمینه ریز دانه و تشکیل بافت پورفیری و نیز کرد شدن کانی هورنبلند.



شکل ۵ a و (b) تبدیل بیوتیت (Bi) به کلریت، اپیدوت (Ep) و کانی‌های همراه با کانی‌های پلازیوکلاز در یک زمینه ریز دانه.



شکل ۶ (a) سریسیتی شدن پیروکسن و تبدیل آن به کانی‌های کدر، (b) رگه‌های کلسیت و کوارتز ثانویه در سنگ داسیت پورفیری.

- زمینه و بافت: زمینه این گروه از سنگ‌ها از میکرولیت‌های ریز، پلازیوکلاز و کانی‌های تیره تشکیل شده است که پلازیوکلازها حالت جریانی کمی دارند. بافت کلی این سنگ‌ها پورفیری است. از دیگر بافت‌های غیرتعادلی موجود در این سنگ‌ها نیز می‌توان بافت‌های انحلالی و غربالی موجود در پلازیوکلازها، کدری شدن هورنبلند و بیوتیت‌ها و بافت انحلالی و حواشی خلیجی موجود در کوارتز را نام برد.

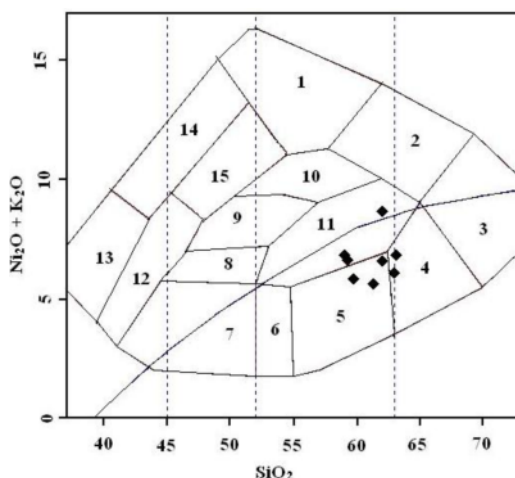
- کانی‌های کمیاب: آپاتیت و زیرکن از کانی‌های کمیاب هستند که به مقدار خیلی ناچیز مشاهده می‌شوند. کانی آپاتیت به صورت شکلدار و سوزنی در درون پلازیوکلازها و بیوتیت‌ها مشاهده می‌شود.

- کانی‌های ثانویه: کانی‌هایی از قبیل کلریت، کلسیت، اپیدوت، سرسیت، اکسیدهای آهن و کوارتز ثانویه در این گروه از سنگ‌ها مشاهده می‌شود که حاصل دگرسانی کانی‌هایی همچون پلازیوکلازها، هورنبلندها و بیوتیت‌ها هستند (شکل ۶b).

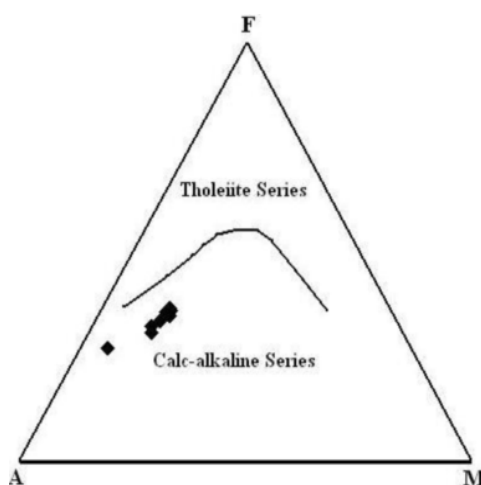
درصد Al_2O_3 نمونه‌ها بالا و در حدود ۱۶ درصد است. مقدار Al_2O_3 بالا در بازالت‌ها نشان‌دهنده تبلور کانی‌های مافیک از مذاب اولیه سازنده آن‌ها در فشارهای نسبتاً بالاست [۹] که موجب تمرکز آلومینیم در آبگون باقی‌مانده شده و باعث تبلور AFM پلازیوکلаз در فشارهای کمتر می‌شود. بر اساس نمودار [۱۱] کلیه نمونه‌های مورد بررسی در گستره آهکی-قلیایی قرار می‌گیرند (شکل ۸)، که روندهای وابسته به نمودارهای عنکبوتی مربوطه به ویژگی‌های دیگر سنگ‌شناسی این سنگ‌ها نیز آن را تأیید می‌کند. دامنه تغییرات K_2O در این سنگ‌ها نسبتاً گسترده (۰/۴۲ تا ۰/۵۹ درصد وزنی) است، به طوری که نمونه‌های مورد بررسی در سری آهکی-قلیایی غنی از پتاسیم قرار می‌گیرند (شکل ۹). تنوع و پراکندگی نمونه‌ها از نظر مقدار K_2O می‌تواند ناشی از تحرک پذیری عنصر پتاسیم حین فرایند دگرسانی سنگ‌های منطقه باشد.

ژئوشیمی
با توجه به دگرسانی نسبتاً گسترده سنگ‌های آتشفسانی منطقه و پیدایش کانی‌های ثانویه مانند اپیدوت، کلریت و کلسیت در آن‌ها، در این بخش سعی شد تا برای بررسی ویژگی‌های اولیه سنگ‌های آتشفسانی منطقه، بررسی‌های ژئوشیمیایی روی نمونه‌های سالم و کمتر دگرسان شده متمرکز شود، و در عین حال در تفسیر داده‌های ژئوشیمیایی بیشتر روی ویژگی‌های عناصری تکیه شود که در محیط‌های گرمابی دگرسان نسبتاً کم تحرک و غیرفعال باقی می‌مانند. نتایج تجزیه شیمیایی نمونه‌های مختلف سنگ‌های آتشفسانی میزبان کانسار مس میدوک در جدول ۱ ارائه شده‌اند.

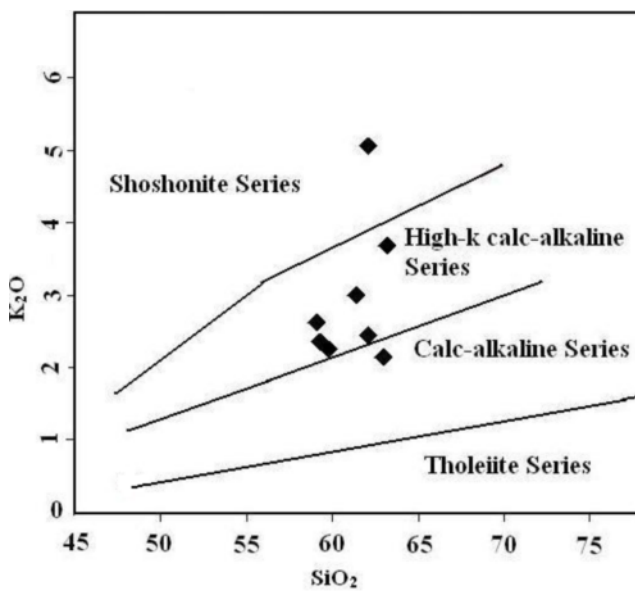
درصد SiO_2 این سنگ‌ها بین ۵۹ تا ۶۳ درصد متغیر است و در نمودار تغییرات $\text{Na}_2\text{O} + \text{K}_2\text{O}$ نسبت به SiO_2 [۵] در گستره تراکی آندزیت، آندزیت و داسیت قرار می‌گیرند (شکل ۷).



شکل ۷ موقعیت سنگ‌های آتشفسانی منطقه در تقسیم‌بندی [۶]. ۱. فنولیت. ۲. تراکیت. ۳. ریولیت. ۴. داسیت. ۵. آندزیت. ۶. آندزیت بازالت. ۷. بازالت هاواییت. ۹. موژه‌آریت. ۱۰. بنموریت. ۱۱. تراکی آندزیت. ۱۲. بازالت تفریتی. ۱۳. نفلینیت. ۱۴. تفریت فنولیت.



شکل ۸ نمودار AFM برای تعیین سری ماقمایی سنگ‌های منطقه [۱۲].



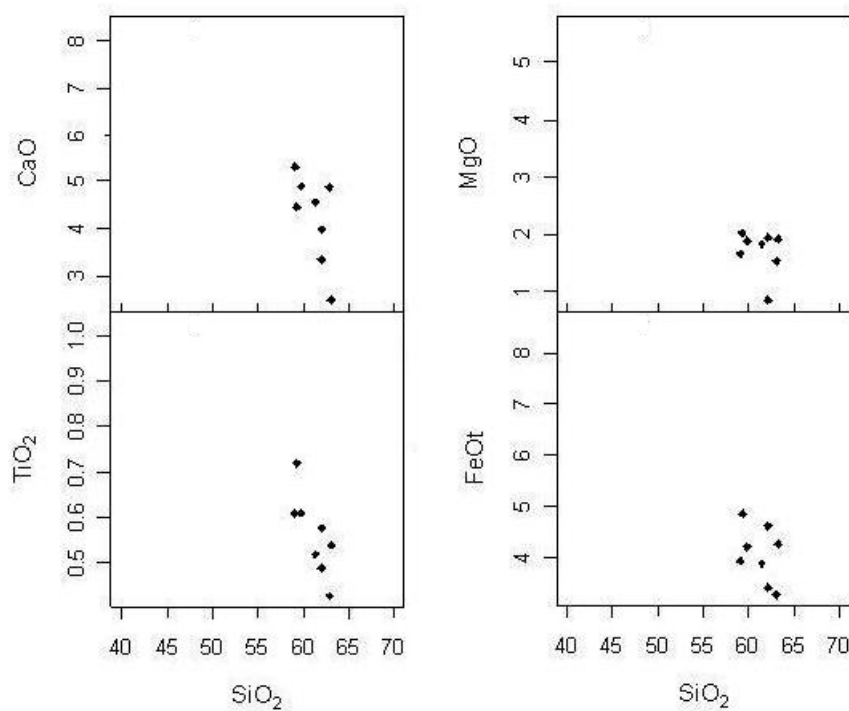
شکل ۹ نمودار SiO_2 نسبت به K_2O برای تعیین سری ماقمایی سنگ‌های آتشفسانی منطقه.

نیز سنگ‌های آتشفسانی منطقه در نمودار شماره ۱۲ [۷] در گستره آندزیت‌های کوه‌زایی قرار می‌گیرند. در نمودارهای شکل ۱۳ سنگ‌های مورد بررسی نیز در گستره کمان‌های ماقمایی ناشی از فروزانش به حساب می‌آیند. برای تمايز کمان ماقمایی حاشیه فعال قاره‌ای از کمان ماقمایی جزایر قوسی، از نمودار شماره ۱۴ [۲۱] استفاده شده است. با توجه به این نمودار به نظر می‌رسد که کمان ماقمایی سازنده سنگ‌های منطقه، ناشی از فروزانش یک پوسته اقیانوسی به زیر یک پوسته قاره‌ای بوده است. مقایسه عناصر کمیاب آندزیت‌های منطقه با آندزیت‌های حاشیه قاره‌ای و جزایر قوسی مناطق دیگر نیز وابستگی واحدهای آتشفسانی منطقه مورد بررسی را به سری‌های آهکی-قلیایی حاشیه قاره‌ای تأیید می‌کند (جدول ۲).

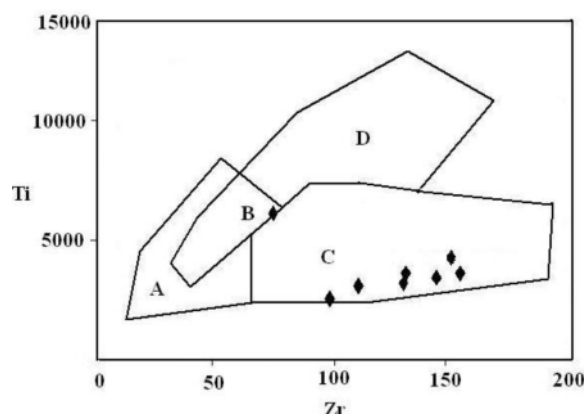
از نسبت عناصر کمیاب Y/Zr نیز برای تشخیص رژیم زمین ساختی می‌توان استفاده کرد [۲۰]. به این صورت که اگر در سنگ‌های آتشفسانی قاره‌ای وابسته‌اند و اگر در آن‌ها $\text{Zr}/\text{Y} < 3$ باشد به کمان‌های آتشفسانی آتشفسانی اقیانوسی تعلق دارند. سنگ‌های آتشفسانی منطقه مورد بررسی دارای نسبت $\text{Zr}/\text{Y} > 3$ هستند و در گروه قوس‌های آتشفسانی قاره‌ای قرار می‌گیرند. بنابراین محیط تکتونوماقمایی منطقه مورد بررسی را می‌توان جزء محیط‌های حاشیه فعال قاره‌ای به شمار آورد.

در شکل ۱۰ تغییرات بعضی عناصر اصلی نسبت به SiO_2 برای سنگ‌های آتشفسانی میزبان کانسار مس میدوک نمایش داده شده است. مقادیر MgO , FeO , TiO_2 و CaO با افزایش SiO_2 روند نزولی نشان می‌دهند که می‌تواند نشانه تبلور بخشی کانی کلینوبیروکسن طی تبلور ماقمایی باشد [۸]. مقدار CaO نمونه‌ها با افزایش SiO_2 کم و بیش کاهش می‌یابد که می‌تواند به شکل‌گیری ترکیب پلاژیوکلازها از کلسیک به سدیک حین تبلور بخشی ماقمایی وابسته باشد.

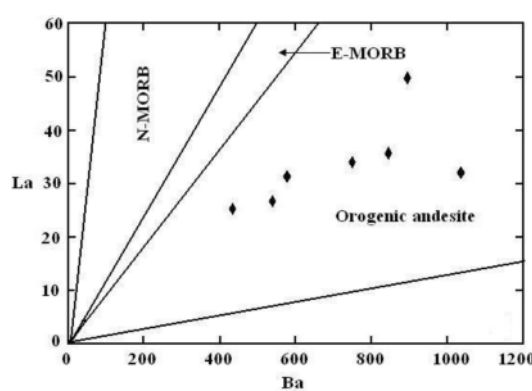
عناصر فرعی آندزیت‌هایی که حواشی قاره‌ای فعال وابسته-اند دارای ویژگی‌های خاصی هستند که آن‌ها را از آندزیت‌های جزایر قوسی مجزا می‌سازد. در این سنگ‌ها نسبت $\text{Ba/La} > 15$ و $\text{La/Th} < 7$ است [۷]. عناصر فرعی سنگ‌های آتشفسانی کانسار میدوک نیز از نسبت‌های بالا پیروی می‌کند که گویای تشابه آن‌ها با سنگ‌های حواشی قاره‌ای فعال است. (جدول ۱). به منظور تعیین محیط زمین‌ساختی سنگ‌های آتشفسانی مورد بررسی، از نمودارهایی استفاده شد که عناصر کمیاب کم تحرکی چون Y , Nb , Zr , V , Ta , Hf , ..., هستند. این عناصر نسبتاً نامتحرک بوده و هنگام فرایندهای سازنده‌های آن چون هوازدگی، دگرسانی و دگرگونی حساسیت نشان نداده و وارد فاز شاره نمی‌شوند. چنانکه در نمودار شماره ۱۱ مشاهده می‌شود کلیه نمونه‌های منطقه در گستره‌های آهکی-قلیایی، و



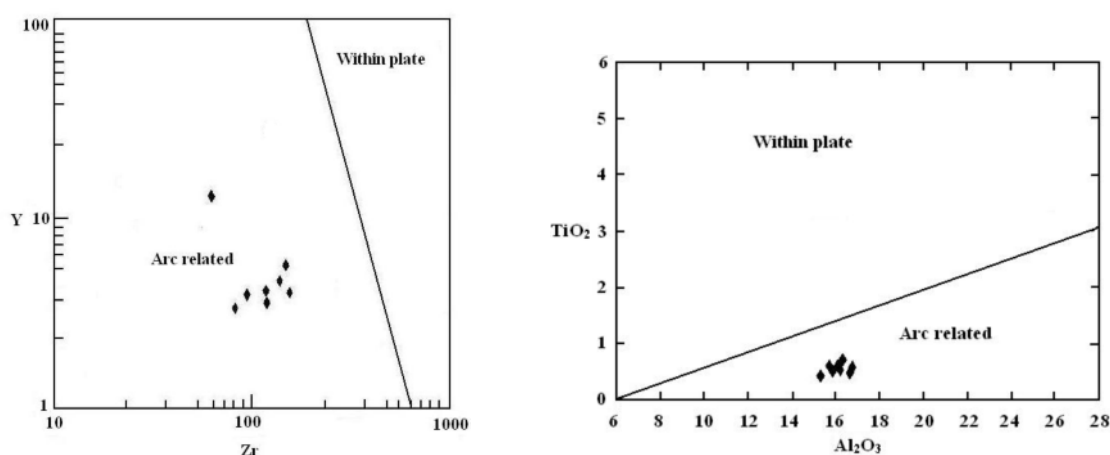
شکل ۱۰ روند تغییرات عناصر اصلی نسبت به SiO_2 در نمودار هارکر.



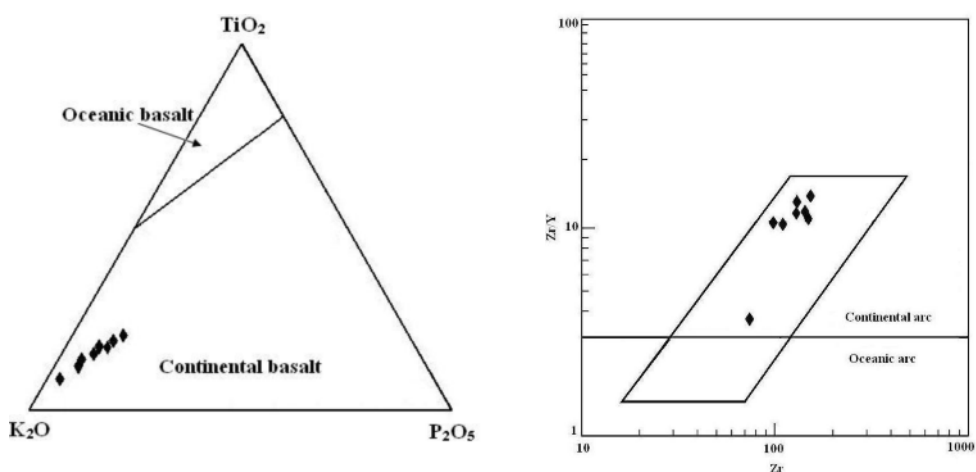
شکل ۱۱ تعیین محیط زمین ساختی سنگ‌های بازیک منطقه بر اساس نمودار [۲۰].



شکل ۱۲ تعیین محیط زمین ساختی سنگ‌های منطقه بر اساس نمودار [۷].



شکل ۱۳ نمودارهای تعیین محیط زمین‌ساختی سنگ‌های آتشفشاری منطقه [۱۸].



شکل ۱۴ نمودار تعیین محیط زمین‌ساختی سنگ‌های منطقه [۲۱].

جدول ۲ مقایسه میانگین ترکیب شیمیایی عناصر کمیاب آندزیت‌های جزایر قوسی و حواشی قاره‌ای فعلی با آندزیت‌های منطقه مورد مطالعه.

عناصر فرعی	A	B	C
Rb	۷۵.۵	۱۰	۸۸.۹
Ba	۸۸.۹	۱۰۰	۷۲۱.۵
Sr	۶۴.۸	۲۱۵	۵۸۲
Ce	۶۶.۸		۶۷.۸
Y	۱۲.۲		۱۱.۳
Co	۱۸.۶	۲۰	۲۳.۹
V	۱۲۵		۱۱۲
Ni	۳۸.۶	۱۵	۲۳.۶
Th	۱.۸۲	۱.۳	۸.۹
U	۰.۶۴	۰.۴	۲.۶۸

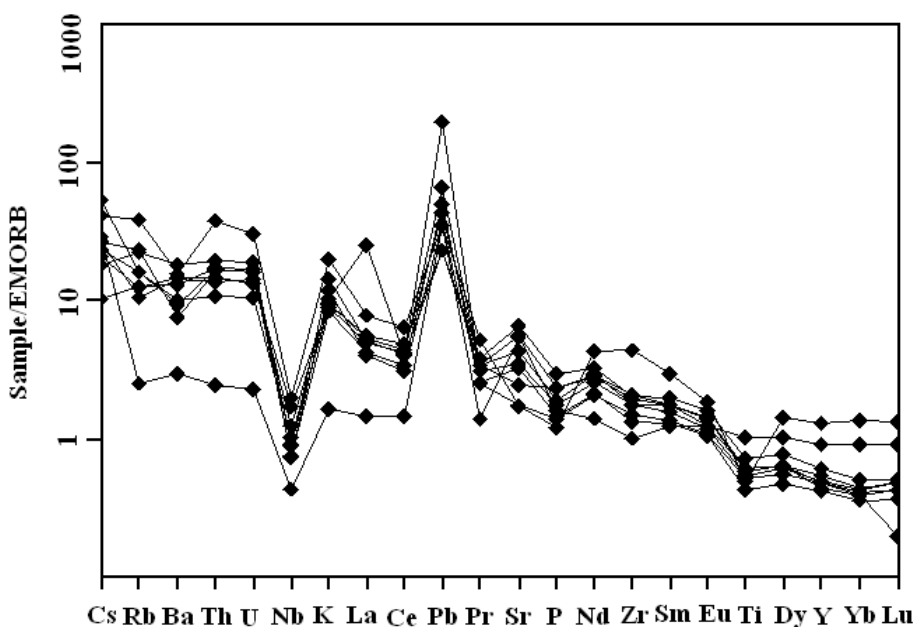
(A) آندزیت‌های آند، (B) آندزیت‌های آهکی-قلیایی جزایر قوسی، (C) آندزیت‌های مربوط به کانسار مس میدوک.

Sr دیده می‌شود که این تهی شدگی متأثر از دگرسانی شدید پلاژیوکلازهاست.

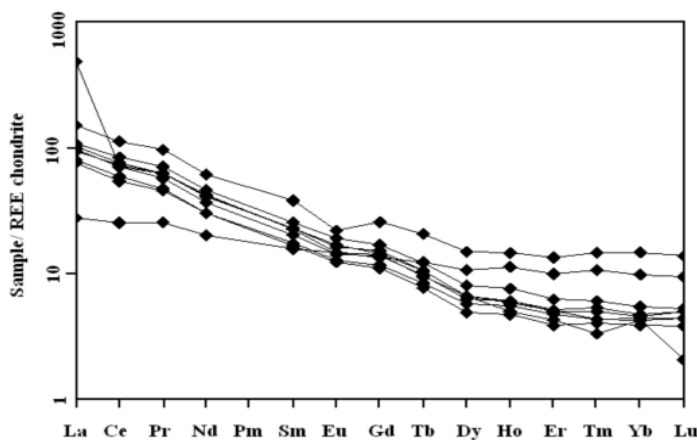
فراوانی عناصر نادر خاکی نمونه‌ها، نسبت به کندریت بهنجار شده است (شکل ۱۶). چنانکه در این شکل ملاحظه می‌شود الگوهای یکنواخت غنی شدگی از عناصر نادر خاکی سبک (از La تا Sm) در مقایسه با عناصر نادر خاکی سنگین (HREE) در نمونه‌ها به چشم می‌خورد. غنی شدگی از عناصر LREE نسبت به عناصر HREE و مقدار کم Zr, Nb و Ti (HFSE)، وابستگی این سنگ‌ها را به سری‌های آهکی-قلیایی نشان می‌دهند [۱۶]. عنصر Eu در سنگ‌های منطقه، نابهنجاری منفی ضعیفی را نشان می‌دهد که با الگوی سنگ‌های آتشفسانی حاشیه قاره‌ای همخوانی دارد. همچنین با توجه به موازی بودن روند واپسته به نمونه‌ها می‌توان به خاستگاه بودن آن‌ها پی برد.

با توجه به ویژگی‌های ژئوشیمیایی و نیز با در نظر گرفتن موقعیت زمانی و مکانی سنگ‌های آتشفسانی کانسار مس میدوک، به نظر می‌رسد که این سنگ‌ها با مagmaتیسم ناشی از فرورانش پوسته اقیانوسی نئوتیس به زیر ورقه ایران مرکزی (magmatic arc) واپسته بوده و در یک محیط کمان مagmaی (magmatic arc) تشکیل شده‌اند.

در شکل ۱۵ ترکیب شیمیایی سنگ‌های آتشفسانی کانسار مس میدوک نسبت به بازالت‌های پشت‌های میان اقیانوسی غنی شده (E-MORB) بهنجار شده است. چنانکه در این شکل مشاهده می‌شود، فراوانی عناصر کمیاب Zr, Yb, Y, Dy, Th, Eu, Sm در نمونه‌ها تقریباً مشابه با فراوانی این عناصر در E-MORB است و نیز عناصر کمیاب دارای پتانسیل یونی پایین (LILE) پراکندگی بیشتری نسبت به عناصر با پتانسیل یونی بالای (HFSE) است. این پراکندگی به علت تحرك نسبتاً زیاد عناصر LILE در طول دگرسانی است [۱۶]. روند تغییرات عناصر کمیاب در سنگ‌های مختلف کم و بیش موازی است که این امر دلالت بر هم خاستگاه بودن آن‌ها دارد. نابهنجاری منفی عناصر Ti, Nb, P و Ti, Nb, P غنی‌اند، در گوه گوشته‌ای افزایش می‌یابد [۲۲]. نابهنجاری مثبت Pb به دگرنهادی گوه گوشته‌ای به وسیله شاره‌های ناشی از پوسته اقیانوسی فرورو و یا آلایش magma با پوسته قاره‌ای اشاره دارد [۱۳]. همچنین در بعضی از نمونه‌ها در



شکل ۱۵ نمودار عنکبوتی سنگ‌های آتشفسانی میدوک، بهنجار شده نسبت به E-MORB.(Sun & Mc Donough 1989)



شکل ۱۶ الگوی بهنجار شده عناصر نادر خاکی سنگ‌های منطقه نسبت به کندریت (Nakamura 1977).

ژئوشیمیابی عناصر اصلی و کمیاب، سنگ‌های آتشفسانی بالا جزء سری آهکی-قلیابی محسوب می‌شوند. در نمودار عناصر کمیاب بهنجار شده نسبت به E-MORB، عناصر Nb/P و Nb/La نسبت به کندریت نشان دهنده غنی‌شدگی یکنواخت نمونه‌ها از REE در مقایسه با HREE است. غنی‌شدگی این سنگ‌ها از عناصر LREE حاکی از ریشه گرفتن احتمالی گدازه‌ها از ذوب بخشی گوئه گوشتهدی است که خود در اثر تماس با شاره‌های مشتق از پوسته اقیانوسی فرورونده، از عناصر کمیاب فوق غنی شده بودند. با توجه به بررسی‌های بالا و نیز موقعیت زمانی و مکانی سنگ‌های آتشفسانی میزان کانسوار مس میدوک، می‌توان به این نتیجه رسید که سنگ‌های یادشده با مagma می‌توانند از فرورانش پوسته اقیانوسی نفوذتیس به زیر صفحه ایران مرکزی همچومنی دارد.

قدرتانی

از آنجا که این کار پژوهشی با حمایت‌های همه جانبه مجتمع مس سرچشمه و مجتمع معدنی مس میدوک انجام شده است لذا لازم می‌دانیم از مدیریت محترم امور تحقیق و توسعه مجتمع مس سرچشمه جناب آقای مهندس قاسمی، رئیس محترم امور تحقیق و توسعه این مجتمع، جناب آقای مهندس آتش پنجه و نیز مدیریت محترم مجتمع مس میدوک جناب آقای مهندس شریفیان، و رئیس محترم بخش زمین شناسی

خاستگاه احتمالی مagma تشکیل دهنده سنگ‌های آتشفسانی منطقه

ماگمای تشکیل دهنده سنگ‌های آتشفسانی در مناطق فرورانش عموماً از گوه گوشتهدی، شاره‌ها و آبگون‌ها مشتق شده از پوسته اقیانوسی فرورو ریشه می‌گیرند [۲۲]. ماگماهای برخاسته از گوه گوشتهدی معمولاً دارای K_2O بالا و MgO پایین هستند [۱۵]. نسبت بالای Ba/Th اشاره به تأثیر ته نشست‌ها در ژنز ماگما دارد [۱۵]. در سنگ‌های آتشفسانی مورد بررسی میزان K_2O در طیف گستره‌ای نوسان دارد ولی نسبت Ba/Th در نمونه‌ها بالاست. عنصری ناسازگار و متحرک است که مقدار آن در پوسته قاره‌ای و ته نشست‌ها زیاد است [۲۳]. هنگامی که پوشش ته نشستی روی پوسته اقیانوسی فرورانده می‌شود عناصر Ba و Sr به وسیله شاره‌های مشتق شده از ته نشست‌های آبدار و پوسته اقیانوسی به گوئه گوشتهدی منتقل شده و تولید ماگماهای با Ba و Sr بالا می‌کند [۱۶]. با توجه به نسبت بالای این عناصر در سنگ‌های آتشفسانی منطقه میدوک، به نظر می‌رسد که گدازه‌های آتشفسانی موردن بررسی از ذوب‌بخشی گوه گوشتهدی که در اثر تماس با شاره‌های مشتق شده از پوسته اقیانوسی فرورونده، از عناصر کمیاب غنی شده است، ریشه گرفته باشند.

برداشت

سنگ‌های آتشفسانی مجموعه آتشفسانی - آذرآواری در برگیرنده کاسوار مس میدوک مشتمل بر تراکی آندزیت، آندزیت و آندزی بازالت تا داسیت هستند که سن آن‌ها ائوسن است، و به کمپلکس آتشفسانی رازک تعلق دارند. بر اساس داده‌های

- [13] Kamber B.S., Ewart A., Bruce M.C., Donald G.D., "Fluid-mobile trace element constraints on the role of slab melting and implication of Archean crustal growth model", *Contrib Mineral Petrol.* 144 (2002) 38-56.
- [14] Machado A., Lima E.F., Morta d., Oteiza O., Almeida D.P. M., Figueiredo A.M.G., Alexandre F.M., Urrutia J.L., "Geochemistry constrains of Mesozoic-Cenozoic calc-alkaline magmatism in the South Shetland arc", *Antarctica. J. South Amer. Earth Sci.* 18 (2005) 407-425.
- [15] Middlemost E.A.K., "Magmas and magmatic rocks: An introduction to igneous petrology", John Wiley & Sons Inc (1986) New York.
- [16] Morata D., Aguirre L., "Extensional lower Cretaceous volcanism in the Coastal Range (29-30 S), Chile: geochemistry and petrogenesis", *J. South Amer. Earth Sci.* 16 (2003) 459-476.
- [17] Muller D., Groves D.I., "Potassic igneous rocks and associated gold-copper mineralization", *Lecture Notes in Earth Sciences* (1997) No.56.
- [18] Nakamura K., "Volcanoes as possible indicators of tectonic stress orientation -Principle and proposal", *Journal of Volcanology and Geothermal Research*, 2 (1977) 1-16.
- [19] Pearce J.A., Cann J.R., "Tectonic setting of basic volcanic rocks determined using trace elements analyses", *Earth Planet. Sci. Lett.*, 19 (1973) 290-300.
- [20] Pearce J.A., Norry M.J., "Petrogenetic implication of Ti, Zr, Y and Nb variations in volcanic rocks", *Con. Min. Petro* (1979) 33-51.
- [21] Pearce J.A., "Role of the sub-continental lithosphere in magma genesis at active continental margins", In Hawkesworth C.J. and Norry, M.J., shiva, Nantwich (1983) 230-249.
- [22] Pearce J.A., Parkinson I.J., "Trace element models for mantle melting: application to volcanic arc petrogenesis. In: Prichard, H.M., Alabaster, T., Harris, N.B.W., Neary, C.R. (Eds.), Mematic processes in Plate Tectonics", vol. 76. Geological Society of London Special Publication (1993) 373-403.
- [23] Rollinson H.R., "Using geological data, evolution, presentation, interpretation", Longman Ltd Puplication (1993) 214 pp.
- [24] Saric A., Djordjevic M., Dimitrijevic M.N., "Geological map of Shahr-Babak, Scale 1/100000. Geological Survey of Iran", (1971) Tehran, Iran.
- [25] Shahabpour J., "Island-arc affinity of the Central Iranian Volcanic Belt", *Journal of Asian Earth Science*, v.30 (2007) 652-665.

مجتمع مس میدوک جناب آقای مهندس رمضانی به خاطر همکاری همه جانبی شان در انجام این پژوهش سپاسگزاری کنیم.

مراجع

- [1] احمدی پور فرسنگی ح., "بررسی دینامیزم فعالیت‌های آتش‌فشانی کوه مزاحم (شهریار)، پایان‌نامه کارشناسی ارشد، دانشگاه شهید باهنر کرمان، (۱۳۷۲) ۳۶۶ صفحه.
- [2] امامی م.ھ، "ماگماتیسم در ایران"، سازمان زمین‌شناسی و اکتشافات معدنی کشور، تهران (۱۳۷۹).
- [3] معین وزیری ح، "چند نقطه عطف در تاریخچه تکتونوماگماتی ایران"، *فصلنامه علوم زمین* (۱۳۸۳) ۴۹-۵۰.
- [4] Bazin D., Hubner H., "Copper Deposits in Iran", G.S.I. (1969) Rep. 13.
- [5] Cox. K.G., Bell J.D., Pankhurst R.J., "The interpretation of igneous rocks", George, Allen and Unwin, (1979) London.
- [6] Dimitrijevic M., "Geology of Kerman region: institute for geological and mining exploration and institution of nuclear and other mineral raw materials", Beograd-Yugoslavia, Iran Geol. Survey Rept. (1973) Yu/52.
- [7] Gill J.B., "Orogenic Andesite and Plate Tectonics", Springer, Berlin, (1981) 389p.
- [8] Gourgaud A., Vincent P.M., "Petrology of two continental alkaline intraplate series at Emi Koussi volcano, Tibesti, Chad", *J. Volcan. Geo. Res.* 129 (2003) 261- 272.
- [9] Gust D.A, Perfit MR., "Prise relation of a high-Mg basalt from the Aleutian island arc: implications for primary island arc basalts and high-Al basalts", *Contrib Mineral petrol.* 97 (1987) 7-18.
- [10] Hassanzadeh j., "Metallogenetic and tectono-omagmatic events in SE sectore of the cenozoic active continental margin of central Iran-Shahr- Babak, kerman province", PHD thesis, University of California (1993) 201 p.
- [11] Irvin T. N., Baragar W. R. A., "A guide to the classification of the common volcanic rocks", *Can. Jour. Earth. Sci.*, No.8 (1971) 235-458.
- [12] Jung D., Kursten M. O., Turkian M., "Post-Mesozoic volcanism in Iran and its relation to the subduction of the Afro-Arabian under the Eurasian plate. Impilger & Rosler (Eds), Afar between continental and oceanic rifting. Pp.182- 190. International Symposium on the Afar Region and Related Rift Problems, Bad Bergzaben", (1975) Vol.2.